

НИЗКОТЕМПЕРАТУРНАЯ АНОМАЛИЯ УПРУГОГО МОДУЛЯ В  $Tb_2Ti_2O_7$ Л.Г.Мамсурова, К.С.Пигальский, К.К.Пухов<sup>1)</sup>

Обнаружено значительное уменьшение упругого модуля в  $Tb_2Ti_2O_7$  в области низких температур. Показано, что ответственными за эффект являются электрон-деформационное взаимодействие и специфика структуры нижних энергетических уровней иона  $Tb^{3+}$  в кристаллическом поле решетки  $Tb_2Ti_2O_7$ . Даны оценка величины критической температуры кооперативного ян-теллеровского перехода в  $Tb_2Ti_2O_7$ :  $T_c \approx 0,1$  К.

Исследования магнитных свойств соединения  $Tb_2Ti_2O_7$  с кубической структурой типа пирохлора (пр. гр.  $Fd\bar{3}m$ ) показали, что вблизи основного состояния иона  $Tb^{3+}$  (некрамерсова дублета) существует возбужденный дважды вырожденный уровень на расстоянии  $\Delta = 16$  К<sup>1)</sup>. Такая структура уровней в сочетании с достаточно сильной электрон-деформационной связью (о чем свидетельствуют гигантские значения магнитострикции парамагнитного дититаната  $Tb_2Ti_2O_7$ <sup>1)</sup> может обеспечить реализацию при низких температурах кооперативного эффекта Яна – Теллера в этом соединении.

Одним из эффективных способов получения информации о величинах ян-теллеровских взаимодействий является изучение температурных зависимостей упругих модулей<sup>2)</sup>.

В настоящей работе исследуется поведение модуля Юнга  $\mathcal{E}(T)$  в  $Tb_2Ti_2O_7$  при изменении температуры от 1,7 до 300 К, который рассчитывался из измерений продольной скорости звука с использованием методики составного вибратора (образец – кварц) с собственной частотой колебаний 130 кГц. Измерения проводились на четырех поликристаллических образцах,  $Tb_2Ti_2O_7$  разных партий приготовления, а также на изоморфном диамагнитном соединении  $Y_2Ti_2O_7$ . Результаты измерений приведены на рис. 1.

Видно, что в области температур 100 – 300 К зависимость  $\mathcal{E}(T)$  имеет обычный вид, а при  $1,7 < T < 95$  К для  $Tb_2Ti_2O_7$ , наблюдается аномальное падение модуля Юнга на величину  $\sim 25\%$  (кривая 1). Сравнение с результатами для  $Y_2Ti_2O_7$  (кривая 2) свидетельствует, что уменьшение упругого модуля имеет место благодаря присутствию магнитных ионов  $Tb^{3+}$  в  $Tb_2Ti_2O_7$ .

Проведенный микроскопический расчет в рамках гамильтониана, учитывающего взаимодействие  $4f$ -электронов со статическим кристаллическим полем, а также с полем деформаций  $\epsilon_{\alpha\beta}$ , показал, что обнаруженный эффект возможно объяснить деформационными изменениями кристаллического поля без учета каких-либо других видов взаимодействий (обменных, квадруполь-квадрупольных).

В ходе расчета использовано разложение свободной энергии в ряд по параметрам  $\epsilon_{\alpha\beta}$  с точностью до членов второго порядка включительно<sup>3)</sup>. В рамках реализующейся для ионов  $Tb^{3+}$  в  $Tb_2Ti_2O_7$  системы двух дублетов<sup>1)</sup>, имеющих ненулевые матричные элементы электрон-деформационного взаимодействия, выражение для  $\mathcal{E}(T)$  имеет вид

$$\mathcal{E}(T) = \mathcal{E}_{\infty} + \delta \mathcal{E}(T) = \mathcal{E}_{\infty} + \Phi(T). \quad (1)$$

Здесь  $\mathcal{E}_{\infty}$  – значение модуля Юнга, обусловленного упругой энергией решетки без учета электрон-деформационного взаимодействия, а температурная зависимость упругого модуля определяется функцией<sup>4)</sup>

$$\Phi(T) = \sum_{p=1} e_p \varphi_p (\Delta/2T), \quad (2)$$

где  $\varphi_1(x) = -x(1 + thx)$ ,  $\varphi_2(x) = -2thx$ ,  $\varphi_3(x) = -x(1 - thx)$ ,  $\varphi_4 = -\frac{x}{2}(1 - th^2x)$ . Три первых члена суммы (2) соответствуют вкладам от недиагональных матричных эле-

<sup>1)</sup> Институт кристаллографии АН СССР.

ментов между компонентами основного дублета ( $e_1$ ), возбужденного дублета ( $e_3$ ) и между дублетами ( $e_2$ ). Четвертый член содержит диагональные матричные элементы, обусловливающие в первом порядке теории возмущений относительный сдвиг обоих дублетов под влиянием деформаций решетки. Вид соответствующих температурных функций  $\varphi_p(\Delta/2T)$  с  $\Delta = 16$  К приведен на рис. 2.

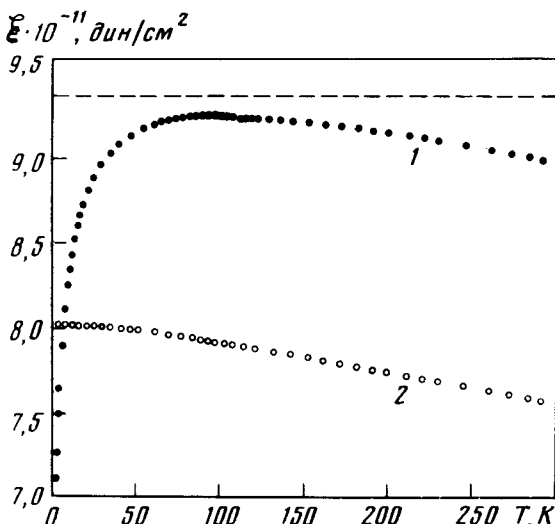


Рис. 1

Рис. 1. Зависимость модуля Юнга от температуры:  
1 –  $Tb_2Ti_2O_7$ , 2 –  $Y_2Ti_2O_7$ ; пунктир – значение  $E_\infty$  для  $Tb_2Ti_2O_7$

Рис. 2. Температурная зависимость вклада в модуль Юнга ( $\delta E$ ) обусловленного деформационными изменениями кристаллического поля в  $Tb_2Ti_2O_7$  (•, ○, ▲, X – экспериментальные точки для поликристаллических образцов разных партий приготовления, сплошная кривая – расчетная для функции  $k_1\Phi(T)$ )

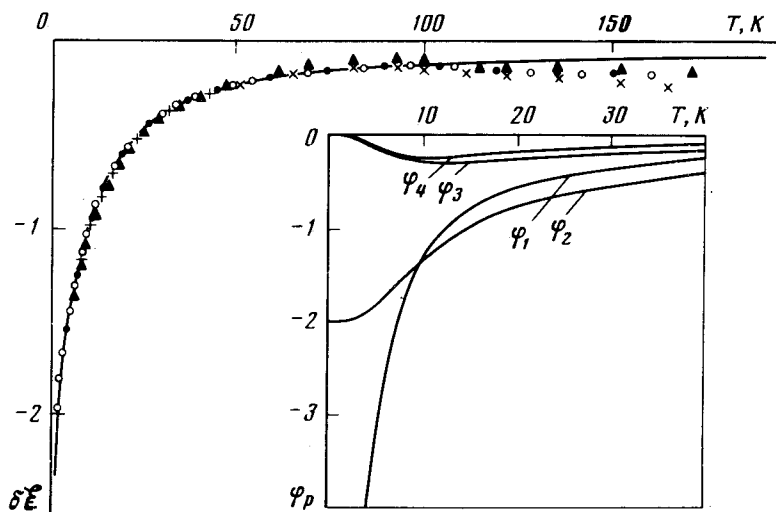


Рис. 2

Сравнение экспериментальных данных для различных поликристаллических образцов (попристность которых составляла от 18 до 32 %) показало, что вид зависимости  $E(T)$  сохраняется для каждого образца, однако значения параметров  $E_\infty$  и  $e_p$  существенно различаются. Последнее можно объяснить тем, что тензор деформации отдельного кристаллита ( $\epsilon_{\alpha\beta}^{kp}$ ) отличается от тензора деформации всего образца ( $\epsilon_{\alpha\beta}^{obp}$ ) ввиду наличия неоднородностей в межзеренных областях.

Предполагая наиболее простую модель, в которой  $\epsilon_{\alpha\beta}^{kp} = \alpha_s \epsilon_{\alpha\beta}^{obp}$  получаем для  $s$ -того образца вместо (1):

$$E^{(s)} = E_\infty^{(s)} + k_s \Phi(T), \quad (3)$$

где  $k_s = \alpha_s^2$ ,  $\Phi(T)$  – универсальная функция, определенная в (2). Из этой модели следует,

что экспериментальные значения  $\delta \mathcal{E}^{(s)}$  для различных поликристаллических образцов с точностью до постоянного множителя  $k_s$  должны описываться одной температурной функцией  $\Phi(T)$ .

Действительно, как видно из рис. 2, результаты для четырех образцов, представленные (точками) в координатах  $\delta \mathcal{E} = k_1 (\mathcal{E}^{(s)} - \mathcal{E}_{\infty}^{(s)}) / k_s$  и  $T$ , укладываются на одну кривую, которая в свою очередь хорошо согласуется с расчетной  $k_1 \Phi(T)$  (сплошная кривая). Параметры  $k_1 e_p$  определялись методом наименьших квадратов по экспериментальным значениям  $\mathcal{E}(T)$  для первого образца ( $s = 1$ ), используя  $\Delta = 16$  К в соответствии с<sup>1</sup>.

Оказалось, что в области  $4 \lesssim T \lesssim 100$  К основной вклад в температурную зависимость упругого модуля вносит второй член суммы (2) ( $k_1 e_2 = 0,7 \cdot 10^{11}$  дин/см<sup>2</sup>), эффективность которого тем больше, чем меньше расстояние между дублетами. При самых низких температурах ( $T < 4$  К) определяющим в температурной зависимости  $\mathcal{E}(T)$  становится первый член, пропорциональный  $1/T$  ( $k_1 e_1 = 0,06 \cdot 10^{11}$  дин/см<sup>2</sup>). Третий и четвертый члены суммы (2) оказываются пренебрежимо малы во всем температурном интервале.

Существование в выражении для упругого модуля отличного от нуля члена, пропорционального  $1/T$ , с необходимостью приводит к падению упругого модуля до нуля при конечной температуре, что будет соответствовать кооперативному структурному ян-теллеровскому фазовому переходу, индуцированному электрон-деформационным взаимодействием<sup>2</sup>. Из условия нестабильности

$$\mathcal{E}^{(s)} = \mathcal{E}_{\infty}^{(s)} + k_s \Phi(T_c) = 0 \quad (4)$$

получаем оценку для критической температуры в  $\text{Tb}_2\text{Ti}_2\text{O}_7$ :  $T_c \approx 0,1$  К.

Таким образом, проведенные исследования свидетельствуют, что обнаруженное в  $\text{Tb}_2\text{Ti}_2\text{O}_7$  аномальное поведение упругого модуля при низких температурах можно рассматривать как проявление существующих в данном соединении ян-теллеровских взаимодействий, обусловленных связью электронных состояний иона  $\text{Tb}^{3+}$  с деформациями решетки.

Авторы благодарят Ю.Ф.Попова за предоставленные для эксперимента монокристаллы оптического кварца.

### Литература

1. Александров И.В., Лидский Б.В., Мамсурова Л.Г., Нейгауз М.Г., Пигальский К.С., Пухов К.К., Трусеевич Н.Г., Шербакова Л.Г. ЖЭТФ 1985, 89, 2230.
2. Melcher R.L. Physical acoustics, Academ. Press., N.-Y. and London, 1976, v XII, pp. 1- 77.
3. Ландау Л.Д., Либшиц Е.М. Статистическая физика. М.: Наука, 1964, с. 118.

Поступила в редакцию